

信号

直流分量+交流分量

偶分量+奇分量

实部分量+虚部分量

脉冲分量

正交分量

分解结果是唯一的

信号分解

HIT-Visual Intelligence Lab

信号分解

信号的直流分量

信号的交流分量

信号的偶分量

信号的奇分量

信号的实部分量

信号的虚部分量

$f_{DC}(t) = \lim_{T \rightarrow \infty} \frac{1}{T} \int_{-\frac{T}{2}}^{\frac{T}{2}} f(t) dt$

$f_{AC}(t) = f(t) - f_{DC}(t)$

$f_e(t) = Ev[f(t)] = \frac{f(t) + f(-t)}{2}$

$f_o(t) = Od[f(t)] = \frac{f(t) - f(-t)}{2}$

$f_r(t) = Re[f(t)] = \frac{1}{2}(f(t) + f^*(t))$

$f_i(t) = Im[f(t)] = \frac{1}{2j}(f(t) - f^*(t))$

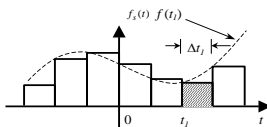
信号的均值

HIT-Visual Intelligence Lab

信号分解

信号的脉冲分量分解

信号可以近似表示为一组矩形脉冲的和的形式。



信号分解后， $t_1$  处宽度为  $\Delta t_1$  的矩形脉冲可以表示为  $f_{s_1}(t) = f(t_1)[u(t - t_1) - u(t - t_1 - \Delta t_1)]$

于是原始函数可以表示为：
$$f(t) \approx \sum_{t_1=-\infty}^{\infty} f_{s_1}(t)$$

HIT-Visual Intelligence Lab

信号分解

正交函数：

如果在区间  $(t_1, t_2)$  上，函数  $f_1(t)$  和  $f_2(t)$  互不含有对方的分量，则称  $f_1(t)$  与  $f_2(t)$  在  $(t_1, t_2)$  上正交。

函数正交的充要条件是它们的内积为0  $\langle f_1, f_2 \rangle = 0$

函数  $f_1(t)$  和  $f_2(t)$  在  $(t_1, t_2)$  上的内积：
$$\langle f_1, f_2 \rangle = \int_{t_1}^{t_2} f_1(t) f_2(t) dt$$

任一函数  $f(t)$  在  $(t_1, t_2)$  上可表示为正交函数集内函数的线性组合。

$$f(t) \approx \sum_{n=1}^N c_n g_n(t)$$

正交分量的系数

HIT-Visual Intelligence Lab

信号分解

信号正交分解的作用：

1. 方便处理

例如：旋转

2. 便于抽取特性

3. 数据压缩

HIT-Visual Intelligence Lab

信号分解

正交变换方法：

1. 傅立叶变换 Fourier Transform

2. 离散余弦变换 Discrete Cosine Transform

3. 沃尔希-哈德玛变换 Walsh-Hadamard Transform

4. 斜变换 Slant Transform

5. 哈尔变换 Haar Transform


6. 离散小波变换 Discrete Wavelet Transform

7. 离散K-L变换 Discrete Karhunen-Leave Transform

8. 奇异值分解SVD变换 Singular-Value Decomposition

9. Z变换

HIT-Visual Intelligence Lab



哈尔滨工业大学  
HARBIN INSTITUTE OF TECHNOLOGY

98

## 傅里叶变换

### 傅立叶变换

——线性系统分析中有力工具

傅氏变换在很多领域中应用很广泛，这是因为

依靠它，建立起了非常完善的线性系统理论


——通信及控制论的基础


它被移植到光学中，形成光学信息处理的基础

——傅氏光学

在图像、语音信号处理领域，

傅氏变换和线性系统理论是进行信号恢复和重构的重要手段。

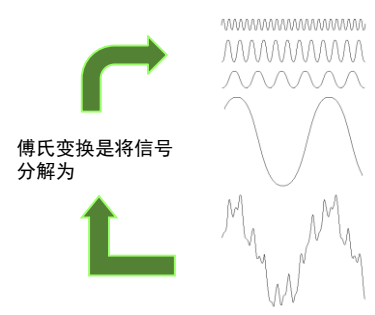
 HIT-Visual Intelligence Lab




哈尔滨工业大学  
HARBIN INSTITUTE OF TECHNOLOGY


99

## 信号分解



傅氏变换是将信号分解为

 HIT-Visual Intelligence Lab



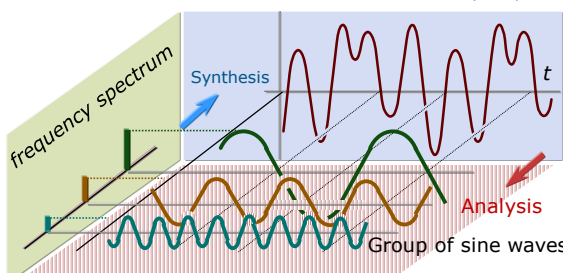
哈尔滨工业大学  
HARBIN INSTITUTE OF TECHNOLOGY

100

## 傅里叶变换

Frequency area ↔ Time area

Wave of arbitrary shape





frequency spectrum

Synthesis

Analysis

Group of sine waves

 HIT-Visual Intelligence Lab



哈尔滨工业大学  
HARBIN INSTITUTE OF TECHNOLOGY

101

## 傅里叶变换

### 一. 一维傅立叶变换


令  $f(x)$  为实变量  $x$  的连续函数， $f(x)$  的傅立叶变换定义如下式，并记为  $\mathfrak{F}$ 。


$$\mathfrak{F}\{f(x)\} = \int_{-\infty}^{+\infty} f(x) e^{-j2\pi ux} dx = F(u) \quad \text{其中 } j^2 = -1$$

傅立叶的反变换 (the inverse Fourier's transform) 定义为下式：

$$\mathfrak{F}^{-1}\{F(u)\} = \int_{-\infty}^{+\infty} F(u) e^{j2\pi ux} du = f(x)$$

——傅立叶变换对 (the Fourier transform pair)

 HIT-Visual Intelligence Lab



哈尔滨工业大学  
HARBIN INSTITUTE OF TECHNOLOGY

102


## 傅里叶变换


### 一. 一维傅立叶变换

另一种形式

$$F(\omega) = \int_{-\infty}^{+\infty} f(t) e^{-j\omega t} dt$$
$$f(t) = \frac{1}{2\pi} \int_{-\infty}^{+\infty} F(\omega) e^{j\omega t} d\omega$$

关系  $\omega = 2\pi u, \quad t = x$

 HIT-Visual Intelligence Lab



哈尔滨工业大学  
HARBIN INSTITUTE OF TECHNOLOGY

103

## 傅里叶变换


$$f(x) \rightarrow F(u)$$


实      复

$$F(u) = R(u) + jI(u)$$
$$= |F(u)| e^{j\phi(u)} \quad \text{——指数形式}$$

模：  $|F(u)| = \sqrt{R^2(u) + I^2(u)}$   
也称幅度函数，傅立叶谱，频谱

相角：  $\phi(u) = \tan^{-1}[I(u)/R(u)]$

 HIT-Visual Intelligence Lab



哈尔滨工业大学  
HARBIN INSTITUTE OF TECHNOLOGY

104


傅里叶变换


$f(x)$  的能量谱  $E(u)$  为:

$$E(u) = |F(u)|^2 = R^2(u) + I^2(u)$$

又称功率谱  $P_f(u)$  (Power spectrum)

$$P_f(u) = \Im\{R_f(\tau)\} = \Im\{f(t) * f(-t)\}$$
$$= F(u)F(-u)$$
$$= |F(u)|^2$$

 HIT-Visual Intelligence Lab

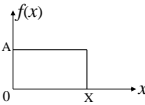


哈尔滨工业大学  
HARBIN INSTITUTE OF TECHNOLOGY

105


傅里叶变换


例1. 简单函数  $f(x)$  如图所示:



由欧拉公式(Eular relation)可知

$$e^{-j2\pi ux} = \cos(2\pi ux) - j\sin(2\pi ux)$$
$$e^{j2\pi ux} = \cos(2\pi ux) + j\sin(2\pi ux)$$
$$|F(u)| = \frac{A}{\pi u} |\sin(\pi u X)| = AX \frac{\sin(\pi u X)}{\pi u X}$$

 HIT-Visual Intelligence Lab




哈尔滨工业大学  
HARBIN INSTITUTE OF TECHNOLOGY

106


傅里叶变换


例1. 简单函数  $f(x)$  如图所示:



由欧拉公式(Eular relation)可知

$$e^{-j2\pi ux} = \cos(2\pi ux) - j\sin(2\pi ux)$$
$$e^{j2\pi ux} = \cos(2\pi ux) + j\sin(2\pi ux)$$
$$|F(u)| = \frac{A}{\pi u} |\sin(\pi u X)| = AX \frac{\sin(\pi u X)}{\pi u X}$$

 HIT-Visual Intelligence Lab




哈尔滨工业大学  
HARBIN INSTITUTE OF TECHNOLOGY

107

傅里叶变换

例1. 简单函数  $f(x)$  如图所示:




如果

$$f(x) = e^{-\pi x^2}$$

则

$$F(u) = e^{-\pi u^2}$$

高斯函数的傅立叶变换依然是高斯函数

 HIT-Visual Intelligence Lab




哈尔滨工业大学  
HARBIN INSTITUTE OF TECHNOLOGY


108

傅里叶变换

常用函数的傅立叶变换

函数	$f(t)$	$F(s)$
高斯	$e^{-\pi t^2}$	$e^{-\pi s^2}$
矩形脉冲	$\Pi(t)$	$\frac{\sin(\pi s)}{\pi s}$
三角脉冲	$\Lambda(t)$	$\frac{\sin^2(\pi s)}{\pi s^2}$
冲激	$\delta(t)$	1
单位阶跃	$u(t)$	$\frac{1}{2}[\delta(s) - \frac{j}{\pi s}]$
余弦	$\cos(2\pi ft)$	$\frac{1}{2}[\delta(s+f) + \delta(s-f)]$
正弦	$\sin(2\pi ft)$	$\frac{j}{2}[\delta(s+f) - \delta(s-f)]$
复指数	$e^{j2\pi ft}$	$\delta(s-f)$

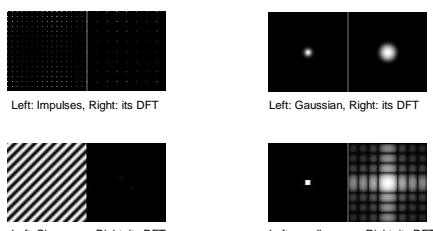
 HIT-Visual Intelligence Lab



哈尔滨工业大学  
HARBIN INSTITUTE OF TECHNOLOGY

109

傅里叶变换





Left: Impulses, Right: its DFT

Left: Gaussian, Right: its DFT

Left: Sine wave, Right: its DFT

Left: small square, Right: its DFT

 HIT-Visual Intelligence Lab



哈尔滨工业大学  
HARBIN INSTITUTE OF TECHNOLOGY

110

傅里叶变换

二. 双变量函数f(x,y)的FT (二维FT)

一维连续的FT可以很容易推广到二维连续的FT。

$$\mathfrak{F}\{f(x,y)\}=\int_{-\infty}^{\infty}\int_{-\infty}^{\infty}f(x,y)e^{-j2\pi(ux+vy)}dxdy=F(u,v)$$
$$\mathfrak{F}^{-1}\{F(u,v)\}=\int_{-\infty}^{\infty}\int_{-\infty}^{\infty}F(u,v)e^{j2\pi(ux+vy)}dxdy=f(x,y)$$

其中  $u,v$  是频率变量.

$F(u,v)$ 的傅立叶谱:

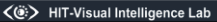
$|F(u,v)|=\sqrt{R^2(u,v)+I^2(u,v)}$


相位 $\phi(u,v)$

$\phi(u,v)=\tan^{-1}[I(u,v)/R(u,v)]$

能量谱 $E(u,v)$ :

$E(u,v)=R^2(u,v)+I^2(u,v)$





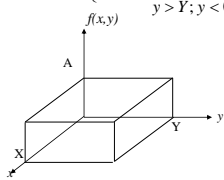
哈尔滨工业大学  
HARBIN INSTITUTE OF TECHNOLOGY

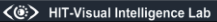
111


傅里叶变换

例2 给定二维函数f(x,y) 如下:

$$f(x,y)=\begin{cases} A & \text{当 } 0\leq x\leq X\text{时} \\ & 0\leq y\leq Y\text{时} \\ 0 & \text{当 } x>X;x<0\text{时} \\ & y>Y;y<0\text{时} \end{cases}$$







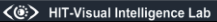
哈尔滨工业大学  
HARBIN INSTITUTE OF TECHNOLOGY


112

傅里叶变换

$$F(u,v)=\int_{-\infty}^{\infty}\int_{-\infty}^{\infty}f(x,y)e^{-j2\pi(ux+vy)}dxdy$$
$$=A\int_0^Xe^{-j2\pi ux}dx\int_0^Ye^{-j2\pi vy}dy$$
$$=A\left[\frac{e^{-j2\pi ux}}{-j2\pi u}\right]_0^X\left[\frac{e^{-j2\pi vy}}{-j2\pi v}\right]_0^Y$$
$$=-\frac{A}{j2\pi u}\left[e^{-j2\pi uX}-1\right]\cdot-\frac{A}{j2\pi v}\left[e^{-j2\pi vY}-1\right]$$
$$=AXY\left[\frac{\sin(\pi uX)}{\pi uX}\right]\left[\frac{\sin(\pi vY)}{\pi vY}\right]$$

傅立叶谱:  $|F(u,v)|=AXY\left|\frac{\sin(\pi uX)}{\pi uX}\right|\cdot\left|\frac{\sin(\pi vY)}{\pi vY}\right|$





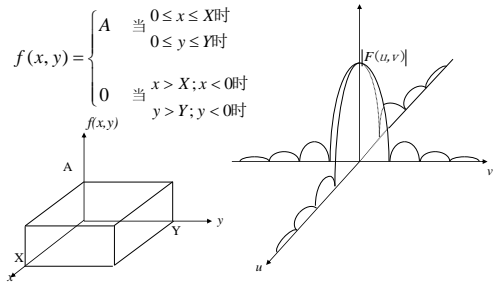
哈尔滨工业大学  
HARBIN INSTITUTE OF TECHNOLOGY

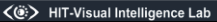
113


傅里叶变换

例2 给定二维函数f(x,y) 如下:

$$f(x,y)=\begin{cases} A & \text{当 } 0\leq x\leq X\text{时} \\ & 0\leq y\leq Y\text{时} \\ 0 & \text{当 } x>X;x<0\text{时} \\ & y>Y;y<0\text{时} \end{cases}$$







哈尔滨工业大学  
HARBIN INSTITUTE OF TECHNOLOGY

114

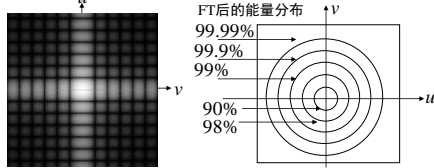
傅里叶变换

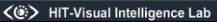
三. FT的性质


1. 振幅谱图(亮度正比于|F(u,v)|的幅度)

2. 能量

一般灰度图像, 能量分布在整幅图上, FT后能量都集中在原点. 另有  $F(0,0)=f(x,y)$ .




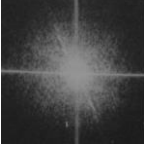






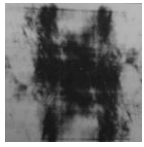
哈尔滨工业大学  
HARBIN INSTITUTE OF TECHNOLOGY

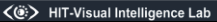
115


傅里叶变换



原图像	幅值谱图	相位谱图
	幅值谱图重构图像	相位谱图重构图像







哈尔滨工业大学  
HARBIN INSTITUTE OF TECHNOLOGY

116

傅里叶变换

3. 对称性 symmetry properties


(1) 奇偶性


函数 $f_e(x)$ 偶函数  $\Leftrightarrow f_e(x) = f_e(-x)$

函数 $f_o(x)$ 奇函数  $\Leftrightarrow f_o(x) = -f_o(-x)$

函数非奇非偶, 则可拆成奇、偶两部分:

$$f_e(x) = \frac{1}{2}[f(x) + f(-x)] \quad f_o(x) = \frac{1}{2}[f(x) - f(-x)]$$
$$f(x) = f_e(x) + f_o(x)$$

 HIT-Visual Intelligence Lab




哈尔滨工业大学  
HARBIN INSTITUTE OF TECHNOLOGY


117

傅里叶变换

$$\begin{aligned} F(u) &= \int_{-\infty}^{\infty} f(x)e^{-j2\pi ux} dx \\ &= \int_{-\infty}^{\infty} f(x)\cos(2\pi ux)dx - j\int_{-\infty}^{\infty} f(x)\sin(2\pi ux)dx \\ &= \int_{-\infty}^{\infty} f_e(x)\cos(2\pi ux)dx + \int_{-\infty}^{\infty} f_o(x)\cos(2\pi ux)dx \\ &\quad - j\int_{-\infty}^{\infty} f_e(x)\sin(2\pi ux)dx - j\int_{-\infty}^{\infty} f_o(x)\sin(2\pi ux)dx \\ &= \int_{-\infty}^{\infty} f_e(x)\cos(2\pi ux)dx - j\int_{-\infty}^{\infty} f_o(x)\sin(2\pi ux)dx \\ &= F_e(u) - jF_o(u) \end{aligned}$$

傅氏变换的对称性列表:  
a) 偶分量函数在变换中产生偶分量函数;  
b) 奇分量函数在变换中产生奇分量函数;  
c) 奇分量函数在变换中引入系数j;  
d) 偶分量函数在变换中不引入系数.

 HIT-Visual Intelligence Lab



哈尔滨工业大学  
HARBIN INSTITUTE OF TECHNOLOGY

118

傅里叶变换

(2) 虚实分量


一个复函数可表示为:  
实部的偶部和奇部, 虚部的偶部和奇部


傅氏变换:

a) 实偶部产生一个实偶部分;  
b) 实奇部产生一个虚奇部分;  
c) 虚偶部产生一个虚偶部分;  
d) 虚奇部产生一个实奇部分.

通常, 我们的图像是实变量函数, 因此其傅氏变换为实偶部和虚奇部. 因此, 它具有共轭对称性.

$$F(u) = F^*(-u) \text{ 其中*表示复共轭}$$

 HIT-Visual Intelligence Lab



哈尔滨工业大学  
HARBIN INSTITUTE OF TECHNOLOGY

119


傅里叶变换


4. 加法原理 the addition theorem

假设两个傅式变换如下:

$$\begin{aligned} \Im\{f(x)\} &= F(u) \quad \Im\{g(x)\} = G(u) \\ \Im\{f(x) + g(x)\} &= \int_{-\infty}^{\infty} [f(x) + g(x)]e^{-j2\pi ux} dx \\ &= \int_{-\infty}^{\infty} f(x)e^{-j2\pi ux} dx + \int_{-\infty}^{\infty} g(x)e^{-j2\pi ux} dx \\ &= F(u) + G(u) \end{aligned}$$

说明: (1) 空域或时域中的加法, 在频域中也是加法。  
(2) 从加法原理可得 $\Im\{cf(x)\} = cF(u)$   
其中c是一个比例常量(rational constant)

 HIT-Visual Intelligence Lab

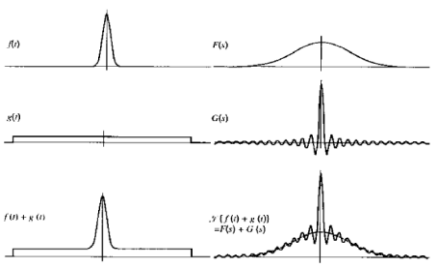



哈尔滨工业大学  
HARBIN INSTITUTE OF TECHNOLOGY


120

傅里叶变换

4. 加法原理 the addition theorem



 HIT-Visual Intelligence Lab

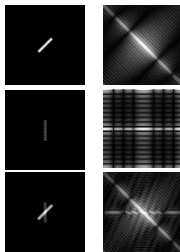



哈尔滨工业大学  
HARBIN INSTITUTE OF TECHNOLOGY

121

傅里叶变换

4. 加法原理 the addition theorem



 HIT-Visual Intelligence Lab

哈尔滨工业大学

HARBIN INSTITUTE OF TECHNOLOGY

122

傅里叶变换

5. 平移原理 the shift theorem

$$\mathfrak{F}\{f(x-a)\} = \int_{-\infty}^{\infty} f(x-a)e^{-j2\pi ux} dx$$

$$= \int_{-\infty}^{\infty} f(x-a)e^{-j2\pi u(x-a)} e^{-j2\pi ua} dx$$

令  $s = x-a$  则  $ds = dx$

$$\mathfrak{F}\{f(x-a)\} = e^{-j2\pi ua} \int_{-\infty}^{\infty} f(s)e^{-j2\pi us} ds = e^{-j2\pi ua} F(u)$$

如果  $a = 0$ , 则系数为单位1。

结论: 函数的平移不改变其傅氏变换后的模值(幅值)  
只改变其实部和虚部间的能量分布。

HIT-Visual Intelligence Lab

哈尔滨工业大学

HARBIN INSTITUTE OF TECHNOLOGY

123

傅里叶变换

6. 卷积定理 the convolution theorem

一维卷积定义:

$$f * g = \int_{-\infty}^{\infty} f(x)g(t-x)dx = A$$

卷积满足

交换律

对加法的分配律

结合律

HIT-Visual Intelligence Lab

哈尔滨工业大学

HARBIN INSTITUTE OF TECHNOLOGY

127

傅里叶变换

6. 卷积定理 the convolution theorem

二维卷积定义:

$$h(t,s) = f * g = \int_{-\infty}^{\infty} \int_{-\infty}^{\infty} f(x,y)g(t-x,s-y)dx dy$$

体积

HIT-Visual Intelligence Lab

哈尔滨工业大学

HARBIN INSTITUTE OF TECHNOLOGY

128

傅里叶变换

6. 卷积定理 the convolution theorem

卷积定理

$$\mathfrak{F}\{f(x) * g(x)\} = \int_{-\infty}^{\infty} \int_{-\infty}^{\infty} f(x)g(t-x)dx \cdot e^{-j2\pi ut} dt$$

$$= \int_{-\infty}^{\infty} f(x) \int_{-\infty}^{\infty} g(t-x) \cdot e^{-j2\pi ut} dt dx$$

平移原理  $\int_{-\infty}^{\infty} f(x)e^{-j2\pi ux} G(u)dx$

$$= F(u)G(u)$$

$$\mathfrak{F}^{-1}\{F(u)G(u)\} = f(t) * g(t)$$

HIT-Visual Intelligence Lab

哈尔滨工业大学

HARBIN INSTITUTE OF TECHNOLOGY

129

傅里叶变换

7. 相似性原理 the similarity theorem

$$\mathfrak{F}\{f(ax)\} = \int_{-\infty}^{\infty} f(ax)e^{-j2\pi ux} dx$$

$$= \int_{-\infty}^{\infty} f(ax)e^{-j2\pi uax/a} dx$$

$$= \frac{1}{a} \int_{-\infty}^{\infty} f(ax)e^{-j2\pi (\frac{u}{a})(ax)} d(ax)$$

$$= \frac{1}{|a|} F\left(\frac{u}{a}\right)$$

——展缩性质

HIT-Visual Intelligence Lab

哈尔滨工业大学

HARBIN INSTITUTE OF TECHNOLOGY

130

傅里叶变换

7. 相似性原理 the similarity theorem

HIT-Visual Intelligence Lab

131

## 傅里叶变换

### 7. 相似性原理 the similarity theorem

证明:  $\int_{-\infty}^{\infty} |f(x)|^2 dx = \int_{-\infty}^{\infty} |F(u)|^2 du$

能量守恒: 说明变换函数与原函数有相同的能量。

证明:  $\int_{-\infty}^{\infty} |f(x)|^2 dx = \int_{-\infty}^{\infty} f(x) f^*(x) dx$

$= \int_{-\infty}^{\infty} f(x) f^*(x) e^{-j2\pi ux} dx \quad (u=0)$

$\mathcal{F}^{-1}\{f(x) f^*(x)\} = F(u) \cdot F^*(-u) \quad (u=0)$

$= \int_{-\infty}^{\infty} F(s) F^*(s-u) ds \quad (u=0)$

$= \int_{-\infty}^{\infty} F(s) F^*(s) ds \quad (u=0)$

HIT-Visual Intelligence Lab

132

## 傅里叶变换

### 8. the Rayleigh's theorem

能量函数的定义为  $energy = \int_{-\infty}^{\infty} |f(x)|^2 dx$

**Rayleigh's 原理:**  $\int_{-\infty}^{\infty} |f(x)|^2 dx = \int_{-\infty}^{\infty} |F(u)|^2 du$

能量守恒: 说明变换函数与原函数有相同的能量。

证明:  $\int_{-\infty}^{\infty} |f(x)|^2 dx = \int_{-\infty}^{\infty} f(x) f^*(x) dx$

$= \int_{-\infty}^{\infty} f(x) f^*(x) e^{-j2\pi ux} dx \quad (u=0)$

$\mathcal{F}^{-1}\{f(x) f^*(x)\} = F(u) \cdot F^*(-u) \quad (u=0)$

$= \int_{-\infty}^{\infty} F(s) F^*(s-u) ds \quad (u=0)$

$= \int_{-\infty}^{\infty} F(s) F^*(s) ds \quad (u=0)$

HIT-Visual Intelligence Lab

133

## 傅里叶变换

### 二维傅立叶变换的性质

性质	空域	频域
加法定理	$f(x, y) + g(x, y)$	$F(u, v) + G(u, v)$
相似性定理	$f(ax, by)$	$\frac{1}{ ab } F\left(\frac{u}{a}, \frac{v}{b}\right)$
位移定理	$f(x-a, y-b)$	$e^{-j2\pi(au+bv)} F(u, v)$
卷积定理	$f(x, y) * g(x, y)$	$F(u, v) G(u, v)$
可分离乘积	$f(x)g(y)$	$F(u)G(v)$
微分	$\left(\frac{\partial}{\partial x}\right)^m \left(\frac{\partial}{\partial y}\right)^n f(x, y)$	$(j2\pi u)^m (j2\pi v)^n F(u, v)$
旋转	$f(x \cos \theta + y \sin \theta, -x \sin \theta + y \cos \theta)$	$F(u \cos \theta + v \sin \theta, -u \sin \theta + v \cos \theta)$
拉普拉斯	$\nabla^2 f(x, y) = \frac{\partial^2}{\partial x^2} + \frac{\partial^2}{\partial y^2} f(x, y)$	$-4\pi^2(u^2 + v^2) F(u, v)$
Rayleigh 定理	$\int_{-\infty}^{\infty} \int_{-\infty}^{\infty}  f(x, y) ^2 dx dy$	$\int_{-\infty}^{\infty} \int_{-\infty}^{\infty}  F(u, v) ^2 du dv$

HIT-Visual Intelligence Lab

134

## 傅里叶变换

### • 四. 离散的傅立叶变换 Discrete FT

假设: 取N个相同间隔  $\Delta x$  单位的抽样方法, 将连续函数  $f(x)$  离散化为一个序列:

$\{f(x_0), f(x_0 + \Delta x), f(x_0 + 2\Delta x), \dots, f(x_0 + (N-1)\Delta x)\}$

则有  $f(x_i) = f(x_0 + i\Delta x)$

其中  $x_0 = 0, x = 0, 1, 2, \dots, N-1$

$\rightarrow \{f(0), f(1), f(2), \dots, f(N-1)\}$

HIT-Visual Intelligence Lab

135

## 傅里叶变换

### 一维离散的傅立叶变换时:

$$F(u) = \frac{1}{N} \sum_{i=0}^{N-1} f(i) e^{-j2\pi ui/N} \quad \text{其中 } u = 0, 1, 2, \dots, N-1$$

$$f(i) = \sum_{u=0}^{N-1} F(u) e^{j2\pi ui/N} \quad \text{其中 } i = 0, 1, 2, \dots, N-1$$

### 傅氏级数展开:

$$F_n = F(n\Delta u) = \int_{-\frac{T}{2}}^{\frac{T}{2}} f(x) e^{-j2\pi(n\Delta u)x} dx \quad \text{其中 } T \text{ 是周期, } \Delta u = \frac{1}{T}$$

$$f(x) = \sum_{n=-\infty}^{\infty} F(n\Delta u) e^{j2\pi(n\Delta u)x} \Delta u = \frac{1}{T} \sum_{n=-\infty}^{\infty} F_n e^{j2\pi(\frac{n}{T})x}$$

$$f(x) = \frac{a_0}{2} + \sum_{n=1}^{\infty} a_n \cos(2\pi \frac{n}{T} x) + \sum_{n=1}^{\infty} b_n \sin(2\pi \frac{n}{T} x)$$

其中  $a_n = \frac{2}{T} \int_{-\frac{T}{2}}^{\frac{T}{2}} f(x) \cos(2\pi \frac{n}{T} x) dx$ ,  $b_n = \frac{2}{T} \int_{-\frac{T}{2}}^{\frac{T}{2}} f(x) \sin(2\pi \frac{n}{T} x) dx$

HIT-Visual Intelligence Lab

136

## 傅里叶变换

### 二维离散的傅立叶变换:

设  $x$  轴取样N点, 间隔为  $\Delta x$

设  $y$  轴取样M点, 间隔为  $\Delta y$


$$f(i, j) = f(i\Delta x, j\Delta y)$$

其中  $\begin{cases} i = 0, 1, 2, \dots, M-1 \\ j = 0, 1, 2, \dots, N-1 \end{cases}$

同理  $F(u, v) = F(u\Delta x, v\Delta y)$

其中  $\begin{cases} u = 0, 1, 2, \dots, M-1 \\ v = 0, 1, 2, \dots, N-1 \end{cases}$

HIT-Visual Intelligence Lab



哈尔滨工业大学  
HARBIN INSTITUTE OF TECHNOLOGY

137

傅里叶变换


于是，傅氏变换对：


$$F(u,v) = \frac{1}{MN} \sum_{x=0}^{M-1} \sum_{y=0}^{N-1} f(x,y) e^{-j2\pi(\frac{ux}{M} + \frac{vy}{N})}$$

其中  $\begin{cases} u = 0, 1, 2, \dots, M-1 \\ v = 0, 1, 2, \dots, N-1 \end{cases}$

$$f(x,y) = \sum_{u=0}^{M-1} \sum_{v=0}^{N-1} F(u,v) e^{j2\pi(\frac{ux}{M} + \frac{vy}{N})}$$

其中  $\begin{cases} x = 0, 1, 2, \dots, M-1 \\ y = 0, 1, 2, \dots, N-1 \end{cases}$

 HIT-Visual Intelligence Lab



哈尔滨工业大学  
HARBIN INSTITUTE OF TECHNOLOGY

138

傅里叶变换

二维离散傅氏变换的性质：


1. 可分离性


$$F(u,v) = \frac{1}{N} \sum_{x=0}^{N-1} e^{-j2\pi ux/N} \cdot \sum_{y=0}^{N-1} f(x,y) e^{-j2\pi vy/N}$$

其中  $u, v = 0, 1, 2, \dots, N-1$

$$f(x,y) = \frac{1}{N} \sum_{u=0}^{N-1} e^{j2\pi ux/N} \cdot \sum_{v=0}^{N-1} F(u,v) e^{j2\pi vy/N}$$

其中  $x, y = 0, 1, 2, \dots, N-1$

 HIT-Visual Intelligence Lab

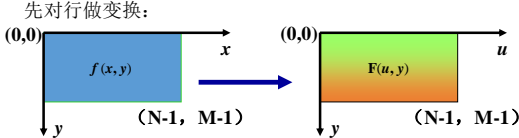


哈尔滨工业大学  
HARBIN INSTITUTE OF TECHNOLOGY

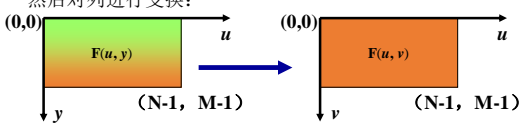
139


傅里叶变换


先对行做变换：



然后对列进行变换：



 HIT-Visual Intelligence Lab

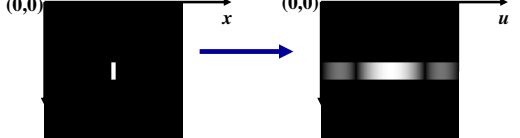


哈尔滨工业大学  
HARBIN INSTITUTE OF TECHNOLOGY

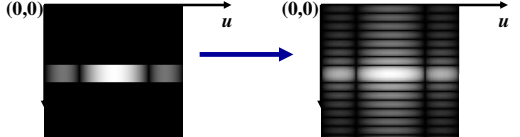
140


傅里叶变换


先对行做变换：



然后对列进行变换：



 HIT-Visual Intelligence Lab



哈尔滨工业大学  
HARBIN INSTITUTE OF TECHNOLOGY

141

傅里叶变换


说明：这种可分离性的主要优点是可将二维FT分成两部，而变为一维FT处理。


$$F(u,v) = \frac{1}{N} \sum_{x=0}^{N-1} F(x,v) e^{-j2\pi ux/N}$$
$$F(x,v) = N \cdot \left[ \frac{1}{N} \sum_{y=0}^{N-1} f(x,y) e^{-j2\pi vy/N} \right]$$

- 2. 线性性质

$$\mathfrak{F}\{af(x,y) + bg(x,y)\} = a\mathfrak{F}\{f(x,y)\} + b\mathfrak{F}\{g(x,y)\}$$

其中  $a, b$  为常数。

 HIT-Visual Intelligence Lab



哈尔滨工业大学  
HARBIN INSTITUTE OF TECHNOLOGY

142

傅里叶变换


3. 比例性

$$\mathfrak{F}\{af(x,y)\} = a\mathfrak{F}\{f(x,y)\} = aF(u,v)$$
$$\mathfrak{F}\{f(ax,by)\} = \frac{1}{|ab|} F\left(\frac{u}{a}, \frac{v}{b}\right)$$


4. 周期性

离散傅氏变换及其逆变换有周期性，以N为周期重复。

$$F(u) = F(u + N) \quad \text{——一维形式}$$

 HIT-Visual Intelligence Lab





哈尔滨工业大学  
HARBIN INSTITUTE OF TECHNOLOGY

146

傅里叶变换

10. Parseval定理


——能量保持定理

连续的二维情形:


$$\int \int_{-\infty}^{\infty} |f(x,y)|^2 dx dy = \int \int_{-\infty}^{\infty} |F(u,v)|^2 du dv$$

离散的二维情形:

$$\sum_{x=0}^{M-1} \sum_{y=0}^{N-1} f^2(x,y) = \frac{1}{MN} \sum_{u=0}^{M-1} \sum_{v=0}^{N-1} |F(u,v)|^2$$



HIT-Visual Intelligence Lab



哈尔滨工业大学  
HARBIN INSTITUTE OF TECHNOLOGY

147

傅里叶变换

• 11. 相关

1.一维连续自相关 **autocorrelation function**

$$R_f(\tau) = f(x) * f(-x) = \int_{-\infty}^{\infty} f(x)f(x+\tau)dx$$

自卷积 **self-convolution**


$$f(x) * f(x) = \int_{-\infty}^{\infty} f(x)f(\tau-x)dx$$

2.一维连续协相关 **cross-correlation function**


$$R_{fg}(\tau) = f(x) * g(-x) = \int_{-\infty}^{\infty} f(x)g(\tau+x)dx$$

3.二维连续协相关函数定义

$$R_{fg}(m,n) = \int \int_{-\infty}^{\infty} f(x,y)g(x+m,y+n)dx dy$$



HIT-Visual Intelligence Lab



哈尔滨工业大学  
HARBIN INSTITUTE OF TECHNOLOGY

148

傅里叶变换

• 五. 快速傅立叶变换 **Fast FT**


——用共轭性质将逆离散傅立叶变换(IDFT)  
变为其共轭数的正离散傅立叶变换

共轭性质:


$$(A+B)^* = A^* + B^*$$
 和数的共轭 = 共轭数的和

$$(A \cdot B)^* = A^* \cdot B^*$$
 乘积的共轭 = 共轭数的积

$$x = x^*$$
 当x为实数时



HIT-Visual Intelligence Lab



哈尔滨工业大学  
HARBIN INSTITUTE OF TECHNOLOGY

149

FFT 傅里叶变换

N = 16

$f(x)$   
 $f(0)$   
 $f(1)$   
 $f(2)$   
 $f(3)$   
 $f(4)$   
 $f(5)$   
 $f(6)$   
 $f(7)$   
 $f(8)$   
 $f(9)$   
 $f(10)$   
 $f(11)$   
 $f(12)$   
 $f(13)$   
 $f(14)$   
 $f(15)$

$f_1(x)$   
 $\omega^0$   
 $\omega^8$   
 $\omega^4$   
 $\omega^{12}$   
 $\omega^2$   
 $\omega^{10}$   
 $\omega^6$   
 $\omega^{14}$   
 $\omega^1$   
 $\omega^9$   
 $\omega^5$   
 $\omega^{13}$   
 $\omega^3$   
 $\omega^{11}$   
 $\omega^7$   
 $\omega^{15}$


$f_2(x)$   
 $\omega^0$   
 $\omega^8$   
 $\omega^4$   
 $\omega^{12}$   
 $\omega^2$   
 $\omega^{10}$   
 $\omega^6$   
 $\omega^{14}$   
 $\omega^1$   
 $\omega^9$   
 $\omega^5$   
 $\omega^{13}$   
 $\omega^3$   
 $\omega^{11}$   
 $\omega^7$   
 $\omega^{15}$

$f_3(x)$   
 $\omega^0$   
 $\omega^8$   
 $\omega^4$   
 $\omega^{12}$   
 $\omega^2$   
 $\omega^{10}$   
 $\omega^6$   
 $\omega^{14}$   
 $\omega^1$   
 $\omega^9$   
 $\omega^5$   
 $\omega^{13}$   
 $\omega^3$   
 $\omega^{11}$   
 $\omega^7$   
 $\omega^{15}$

$f_4(x)$   
 $\omega^0$   
 $\omega^8$   
 $\omega^4$   
 $\omega^{12}$   
 $\omega^2$   
 $\omega^{10}$   
 $\omega^6$   
 $\omega^{14}$   
 $\omega^1$   
 $\omega^9$   
 $\omega^5$   
 $\omega^{13}$   
 $\omega^3$   
 $\omega^{11}$   
 $\omega^7$   
 $\omega^{15}$



HIT-Visual Intelligence Lab

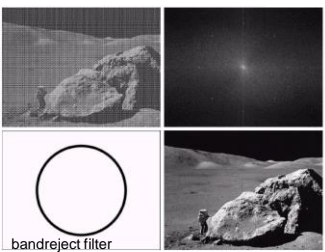


哈尔滨工业大学  
HARBIN INSTITUTE OF TECHNOLOGY

150

傅里叶变换


傅里叶变换应用举例——图像去噪




bandreject filter

By bandpass filtering

Help understanding noise pattern



HIT-Visual Intelligence Lab

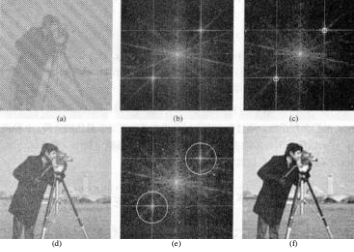


哈尔滨工业大学  
HARBIN INSTITUTE OF TECHNOLOGY

151


傅里叶变换

傅里叶变换应用举例——图像去噪




傅立叶变换		
函数	$m$	$n(n)$
余弦	$\cos(2\pi f)$	$\frac{1}{2}[\delta(x-f)+\delta(x+f)]$
正弦	$\sin(2\pi f)$	$\frac{j}{2}[\delta(x-f)-\delta(x+f)]$

图(a)为一幅受正弦干扰模式覆盖的图像。  
图(b)是(a)的傅立叶频谱幅度图,其上有一对较明显的脉冲亮点。利用带阻滤波器除掉亮点。然后取傅立叶反变换,就可得到图(d)和(f)所示的恢复效果。



HIT-Visual Intelligence Lab





哈尔滨工业大学  
HARBIN INSTITUTE OF TECHNOLOGY

152

Z变换

- 引入 $z$ 变换的主要原因是傅里叶变换不是对所有序列都收敛，能有一个包括更广泛信号的傅里叶变换的推广形式的有用的。
- $z$ 变换把描述离散系统的差分方程，变换成代数方程，使其求解过程得到简化。这一作用类似连续时间系统的拉普拉斯变换。
- 离散时间信号的 $z$ 变换和连续时间信号的拉普拉斯变换是相互对应的。

 HIT-Visual Intelligence Lab



哈尔滨工业大学  
HARBIN INSTITUTE OF TECHNOLOGY

156

Z变换

- $z$ 变换的定义

任意序列  $x(n)$  的离散时间傅里叶变换 (DTFT) 可以表示为:


$$X(e^{j\omega}) = \sum_{n=-\infty}^{\infty} x(n)e^{-j\omega n}$$


其反变换为

$$x(n) = \frac{1}{2\pi} \int_{-\pi}^{\pi} X(e^{j\omega})e^{j\omega n} d\omega$$

据此，序列  $x(n)$  的 $z$ 变换  $X(z)$  定义为:

$$X(z) = \sum_{n=-\infty}^{\infty} x(n)z^{-n}$$

 HIT-Visual Intelligence Lab



哈尔滨工业大学  
HARBIN INSTITUTE OF TECHNOLOGY

157


Z变换


双边  $Z$  变换:  $X(z) = \sum_{n=-\infty}^{\infty} x(n)z^{-n}$

单边  $Z$  变换又分右边序列和左边序列:

右边序列:  $X(z) = \sum_{n=0}^{\infty} x(n)z^{-n}$

左边序列:  $X(z) = \sum_{n=-\infty}^0 x(n)z^{-n}$

 HIT-Visual Intelligence Lab





哈尔滨工业大学  
HARBIN INSTITUTE OF TECHNOLOGY

158

常用函数的傅立叶变换

函数	$f(t)$	$F(s)$
高斯	$e^{-at^2}$	$e^{-s^2/4a}$
矩形脉冲	$\Pi(t)$	$\frac{\sin(\pi s)}{\pi s}$
三角脉冲	$\Lambda(t)$	$\frac{\sin^2(\pi s)}{\pi s^2}$
冲激	$\delta(t)$	1
单位阶跃	$u(t)$	$\frac{1}{s}[\delta(s) - \frac{j}{\pi}]$
余弦	$\cos(2\pi ft)$	$\frac{1}{2}[\delta(s+f) + \delta(s-f)]$
正弦	$\sin(2\pi ft)$	$j\frac{1}{2}[\delta(s+f) - \delta(s-f)]$
复指数	$e^{j2\pi ft}$	$\delta(s-f)$

 HIT-Visual Intelligence Lab




哈尔滨工业大学  
HARBIN INSTITUTE OF TECHNOLOGY


159

Z变换

典型序列的 $Z$ 变换

- 离散冲激信号:  $\delta(n)$   
$$X(z) = \sum_{n=0}^{\infty} \delta(n)z^{-n} = 1$$
- 阶跃信号:  $u(n)$   
$$X(z) = \sum_{n=0}^{\infty} z^{-n}$$
，采用等比序列求和公式

 HIT-Visual Intelligence Lab



哈尔滨工业大学  
HARBIN INSTITUTE OF TECHNOLOGY


160


Z变换

$$X(z) = \sum_{n=0}^{\infty} u(n)z^{-n} = \frac{[1 - (\frac{1}{z})^N]}{1 - \frac{1}{z}} \bigg|_{N \rightarrow \infty} = \frac{z[1 - (\frac{1}{z})^N]}{z - 1} \bigg|_{N \rightarrow \infty}$$

等比无穷序列要收敛，要求后项与前项的比值的模必须小于 1，即要求  $|z| > 1$ ，有:

$$X(z) = \frac{z}{z - 1}$$

 HIT-Visual Intelligence Lab





哈尔滨工业大学  
HARBIN INSTITUTE OF TECHNOLOGY

161

Z变换

3) 斜线信号:  $x(n) = nu(n)$ ,  
根据:  $\sum_{n=0}^{\infty} z^{-n} = \frac{1}{1-1/z}$ ,  $|z| > 1$  (前面阶跃信号 Z 变换的结果)  
将等式两边分别对  $z^{-1}$  求导:  
$$\sum_{n=0}^{\infty} nz^{-(n+1)} = \frac{1}{(1-1/z)^2}$$
, 即  
$$X(z) = \sum_{n=0}^{\infty} nz^{-n} = \frac{1}{(1-1/z)^2} \cdot z = \frac{z}{(z-1)^2}$$

 HIT-Visual Intelligence Lab





哈尔滨工业大学  
HARBIN INSTITUTE OF TECHNOLOGY

162

Z变换

4) 指数序列:  $x(n) = a^n u(n)$ ,  
$$X(z) = \sum_{n=0}^{\infty} a^n z^{-n} = \frac{1-(a/z)^N}{1-a/z} \Big|_{N \rightarrow \infty} = \frac{z}{z-a}$$
  
为保证收敛要求:  $|z| > |a|$

 HIT-Visual Intelligence Lab




哈尔滨工业大学  
HARBIN INSTITUTE OF TECHNOLOGY


169

Z变换

Z变换的收敛域

- 傅里叶变换的幂级数不是对所有序列都收敛, 也就是说该无穷项之和可能不总是有限的。同样, z变换也不是对所有序列或对全部z值都收敛。
- 对给定的序列, 使z变换收敛的那些z值就称为**z变换的收敛域**, 缩写ROC。

 HIT-Visual Intelligence Lab





哈尔滨工业大学  
HARBIN INSTITUTE OF TECHNOLOGY

170

Z变换

傅里叶变换的一致收敛要求序列是绝对可和的, 那么z变换收敛的收敛条件为:  
$$\sum_{n=-\infty}^{\infty} |x(n)r^{-n}| < \infty$$
  
由于序列乘以实指数  $r^{-n}$ , 有可能傅里叶变换不存在时, z变换收敛。如阶跃序列  $x(n) = u(n)$  不是绝对可和的, 因此它的傅里叶变换不收敛。然而  $x(n)r^{-n}$  在  $r > 1$  时是绝对可和的, 这表明阶跃序列  $x(n) = u(n)$  的z变换在收敛域  $|z| > 1$  内存在。

 HIT-Visual Intelligence Lab




哈尔滨工业大学  
HARBIN INSTITUTE OF TECHNOLOGY


174

Z变换

1、线性

若  $x(n)$  的 Z 变换为  $X(z)$ ,  $y(n)$  的 Z 变换为  $Y(z)$ ,  
则:  
 $a \cdot x(n) + b \cdot y(n)$  的 Z 变换为  $a \cdot X(z) + b \cdot Y(z)$

 HIT-Visual Intelligence Lab




哈尔滨工业大学  
HARBIN INSTITUTE OF TECHNOLOGY

175

Z变换

2、时移

若  $x(n)$  的 Z 变换为  $X(z)$   
则:  
 $x(n-m)$  的 Z 变换为  $z^{-m} \cdot X(z)$

 HIT-Visual Intelligence Lab

哈尔滨工业大学  
HARBIN INSTITUTE OF TECHNOLOGY

176

Z变换

### 3、Z域微分

若  $x(n)$  的 Z 变换为  $X(z)$

则:

$$nx(n) \text{ 的 Z 变换为 } -z \frac{d[X(z)]}{dz}$$

HIT-Visual Intelligence Lab

哈尔滨工业大学  
HARBIN INSTITUTE OF TECHNOLOGY

177

Z变换

### 4、初值定理

若  $x(n)$  的 Z 变换为  $X(z)$

则:

$$x(0) = \lim_{z \rightarrow \infty} X(z)$$

HIT-Visual Intelligence Lab

哈尔滨工业大学  
HARBIN INSTITUTE OF TECHNOLOGY

178

Z变换

### 5、终值定理

若  $x(n)$  的 Z 变换为  $X(z)$

则:

$$\lim_{n \rightarrow \infty} x(n) = \lim_{z \rightarrow 1} [(z-1)X(z)]$$

HIT-Visual Intelligence Lab

哈尔滨工业大学  
HARBIN INSTITUTE OF TECHNOLOGY

188

Z变换

## 逆Z变换

HIT-Visual Intelligence Lab

### 1、长除法

例: 求  $X(z) = \frac{z}{(z-1)^2}$  的逆变换  $x(n)$

做长除有:

$$X(z) = z^{-1} + 2z^{-2} + \dots + nz^{-n}$$

所以有:  $x(n) = nu(n)$

可见, 长除法是将 Z 变换分解成一个累加序列  
然后总结规律。


### 2、部分分式展开法

这一方法同拉氏反变换中的方法基本相同

例: 求  $X(z) = \frac{z^2}{z^2 - 1.5z + 0.5}$  的逆变换  $x(n)$

$$X(z) = \frac{z^2}{(z-1)(z-0.5)} = \frac{2z}{z-1} - \frac{z}{z-0.5}$$

所以有:  $x(n) = (2 - 0.5^n)u(n)$




哈尔滨工业大学  
HARBIN INSTITUTE OF TECHNOLOGY


206

Z变换

F变换应用——消除匀速直线运动模糊

例：设平面匀速运动景物图像 $f(x, y)$ ，采集时间是  $T$ ，并设  $x_0(t)$  和  $y_0(t)$  分别是景物在  $x$  方向和  $y$  方向的运动分量，由于运动造成的模糊图像为  $g(x, y)$ ，其它因素忽略，包括噪声，则：

 HIT-Visual Intelligence Lab




哈尔滨工业大学  
HARBIN INSTITUTE OF TECHNOLOGY


207

Z变换

Z变换应用——消除匀速直线运动模糊

在曝光时间  $T$  内，像素点 0 接受的不只是  $f(0)$  的信息，而是  $N$  个采样点的信息在此位置上的叠加。
$$g(0) = f(0) + f(1) + \cdots + f(N-2) + f(N-1)$$
考虑到每个采样点在 CCD 像素上的曝光量的贡献，上式可写为
$$g(0) = \frac{1}{N} [f(0) + f(1) + \cdots + f(N-2) + f(N-1)]$$
而在 CCD 像素点 1 上接受的信息
$$g(1) = \frac{1}{N} [f(1) + f(2) + \cdots + f(N-2) + f(N-1) + f(N)]$$
对在 CCD 上任意一个像素点  $n$  来说，
$$g(n) = \frac{1}{N} [f(n) + f(n+1) + \cdots + f(n+N-2) + f(n+N-1)]$$

 HIT-Visual Intelligence Lab




哈尔滨工业大学  
HARBIN INSTITUTE OF TECHNOLOGY


208

Z变换

Z变换应用——消除匀速直线运动模糊

对上式进行Z变换，则有
$$G(z) = \frac{1}{N} [F(z) + F(z)z + F(z)z^2 + \cdots + F(z)z^{N-1}]$$
 $G(z), F(z)$  分别是  $g(n), f(n)$  的 Z 变换。
$$G(z) = \frac{1}{N} F(z) [1 + z + z^2 + \cdots + z^{N-1}]$$
由卷积定理得
$$H(z) = \frac{G(z)}{F(z)} = \frac{1}{N} [1 + z + z^2 + \cdots + z^{N-1}] = \frac{1}{N} \sum_{i=0}^{N-1} z^i$$
$$= \frac{1}{N} \cdot \frac{1 - z^N}{1 - z}$$

 HIT-Visual Intelligence Lab




哈尔滨工业大学  
HARBIN INSTITUTE OF TECHNOLOGY

209

Z变换

Z变换应用——消除匀速直线运动模糊

$$\frac{G(z)}{F(z)} = \frac{1}{N} \cdot \frac{1 - z^N}{1 - z}$$
$$(1 - z) \cdot G(z) = \frac{1}{N} \cdot F(z) \cdot (1 - z^N)$$
$$G(z) - zG(z) = \frac{1}{N} \cdot [F(z) - z^N F(z)]$$
对方程两边分别进行反 Z 变换，则有
$$g(n) - g(n+1) = \frac{1}{N} \cdot [f(n) - f(n+N)]$$
$$f(n) = Ng(n) - Ng(n+1) + f(n+N)$$

 HIT-Visual Intelligence Lab



哈尔滨工业大学  
HARBIN INSTITUTE OF TECHNOLOGY

210

Z变换

Z变换应用——消除匀速直线运动模糊

$$f(x, y) \approx A - \frac{1}{K} \sum_{k=0}^{K-1} \sum_{l=0}^{L-1} g' [x - ma + (k - \hat{j})a, y] + \sum_{j=0}^{L-1} g' (x - ja, y) \quad (5.4-36)$$


Figure 5.4 (a) Image blurred by uniform linear motion; (b) image restored by using Eq. (5.4-36). (From Sandhu [1972].)

 HIT-Visual Intelligence Lab



哈尔滨工业大学  
HARBIN INSTITUTE OF TECHNOLOGY

视听觉信号处理

Visual-Audio Signal Processing



Visual Intelligence Lab  
Harbin Institute of Technology